

Contrôle optimal de l'état quantique d'un condensat de Bose-Einstein dans un réseau optique

L. Gabardos^{1*}, N. Dupont¹, G. Chatelain¹, M. Arnal¹, J. Billy¹, B. Peaudecerf¹, D. Sugny², D. Guéry-Odelin¹

LCAR

¹ LCAR (UMR 5589), Université Toulouse III - CNRS, Toulouse, France

² ICB (UMR 6303), Université de Bourgogne - CNRS, Dijon, France

Laboratoire Collisions Agrégats Réactivité

Laboratoire Interdisciplinaire Carnot de Bourgogne | icb

Application de protocoles de contrôle optimal pour la manipulation de l'état externe de condensats de Bose-Einstein en réseau optique uni-dimensionnel. Par optimisation de l'évolution temporelle d'un unique paramètre, la position du réseau, nos protocoles nous permettent d'atteindre avec une bonne fidélité une variété d'états quantiques cibles.

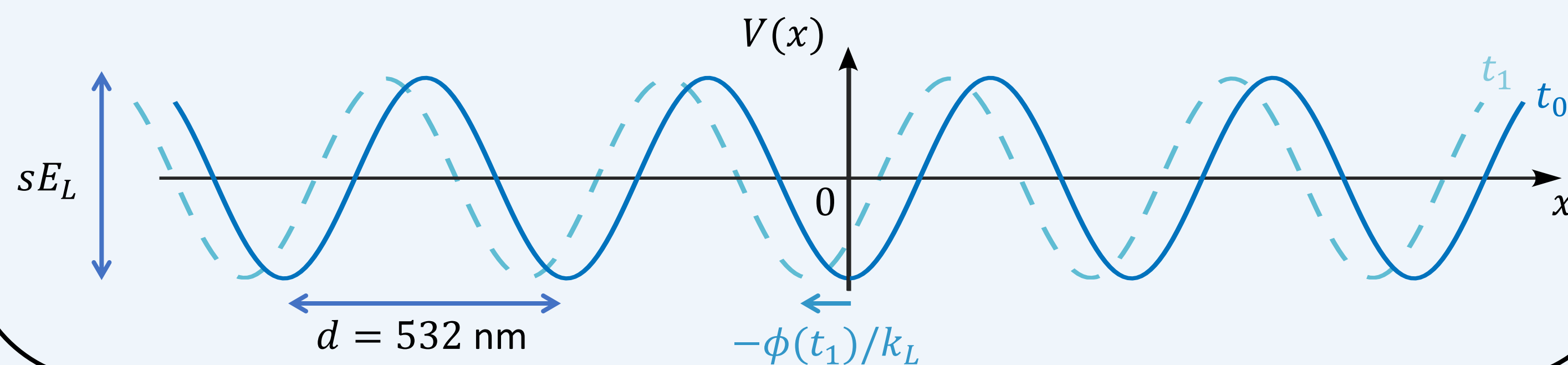
Système expérimental

Condensats de $5 \cdot 10^5$ atomes de ^{87}Rb chargés dans un réseau optique 1D

Potentiel du réseau :

$$V(x, t) = -\frac{s}{2} E_L \cos(k_L x + \phi(t)) \quad \text{avec } k_L = \frac{2\pi}{d} \text{ et } E_L = \frac{\hbar^2 k_L^2}{2m}$$

Contrôle de la phase relative $\phi(t)$ entre les deux faisceaux lasers via deux AOMs verrouillés en phase



Évolution et mesure dans l'espace impulsion

Périodicité spatiale \rightarrow distribution discrète dans l'espace réciproque

$$|\psi\rangle = \sum_{\ell \in \mathbb{Z}} c_\ell |\chi_\ell\rangle \quad c_\ell \in \mathbb{C} \text{ et } \sum_{\ell} |c_\ell|^2 = 1$$

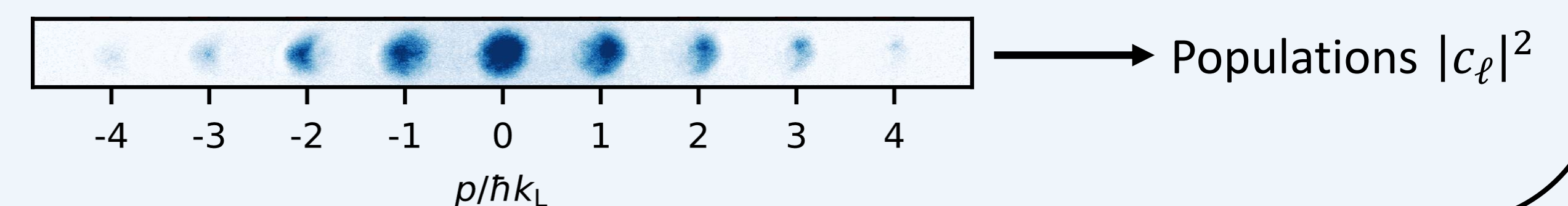
$|\chi_\ell\rangle$ états propres de l'opérateur impulsion (ondes planes)

Évolution : État du système représenté par le vecteur $C = (\dots, c_{-1}, c_0, c_{+1}, \dots)^T$

Équation de Schrödinger :

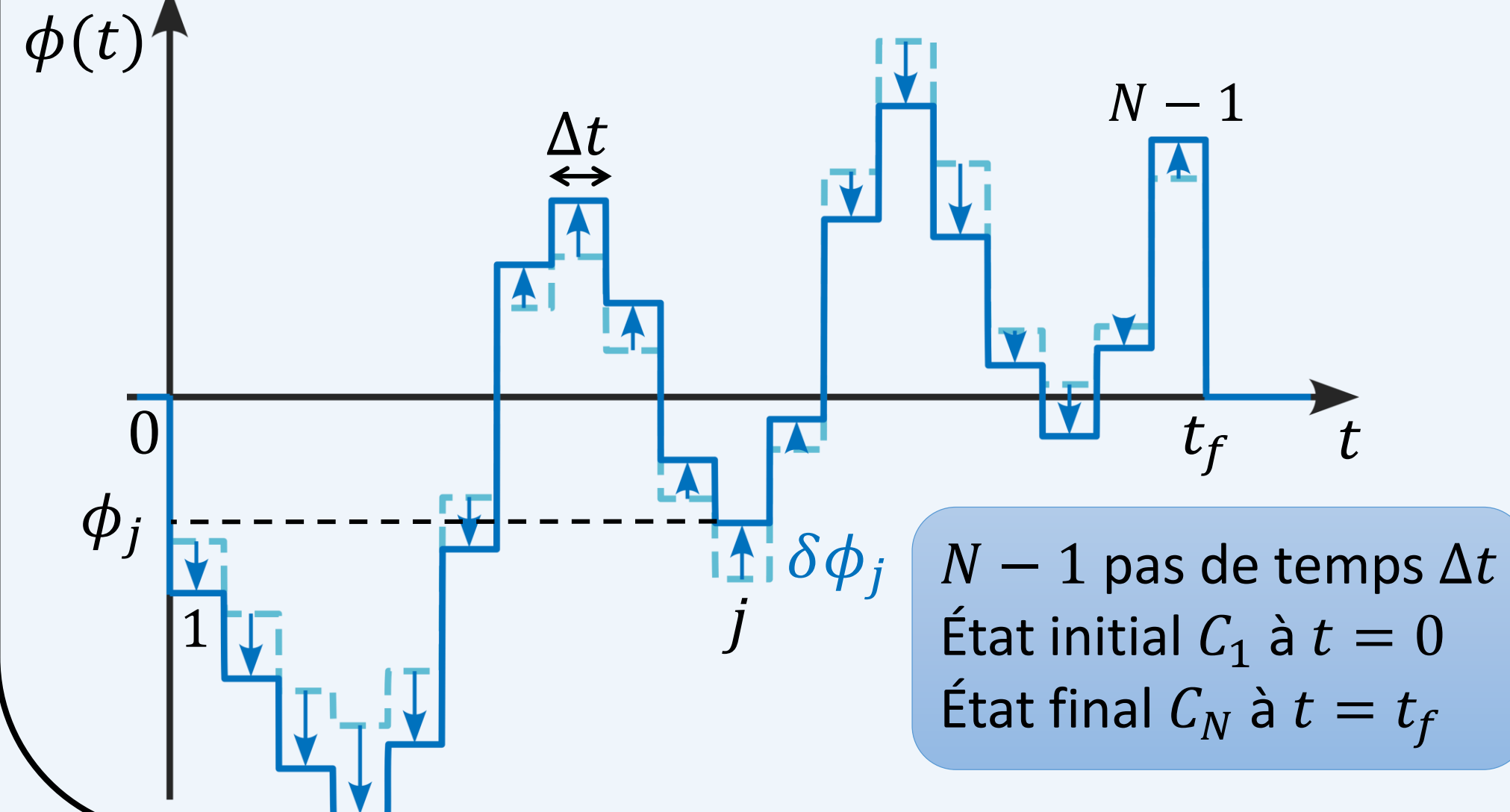
$$i\dot{c}_\ell = \ell^2 c_\ell - \frac{s}{4} (e^{i\phi} c_{\ell-1} + e^{-i\phi} c_{\ell+1}) \Leftrightarrow i\dot{C} = M(\phi)C$$

Mesure : Imagerie par absorption après temps de vol :



Contrôle optimal quantique – algorithme de remontée du gradient [1,2]

Champ de contrôle constant par morceaux :



$$\text{Facteur de mérite : } F = |C_N^\dagger C_T|^2$$

fidélité quantique de l'état final C_N à l'état cible C_T

On veut modifier les valeurs ϕ_j du champ de contrôle pour maximiser F :

$$\delta F = \sum_j \frac{\partial F}{\partial \phi_j} \delta \phi_j > 0$$

$$\text{On choisit } \delta \phi_j = \epsilon \frac{\partial F}{\partial \phi_j} \approx 2 \epsilon \Delta t \Im \left[D_{j+1}^\dagger \frac{\partial M(\phi_j)}{\partial \phi_j} C_j \right]$$

avec $\epsilon > 0$ et D défini par $i\dot{D} = M(\phi)D$ et $D_N = \frac{\partial F}{\partial C_N^\dagger}$

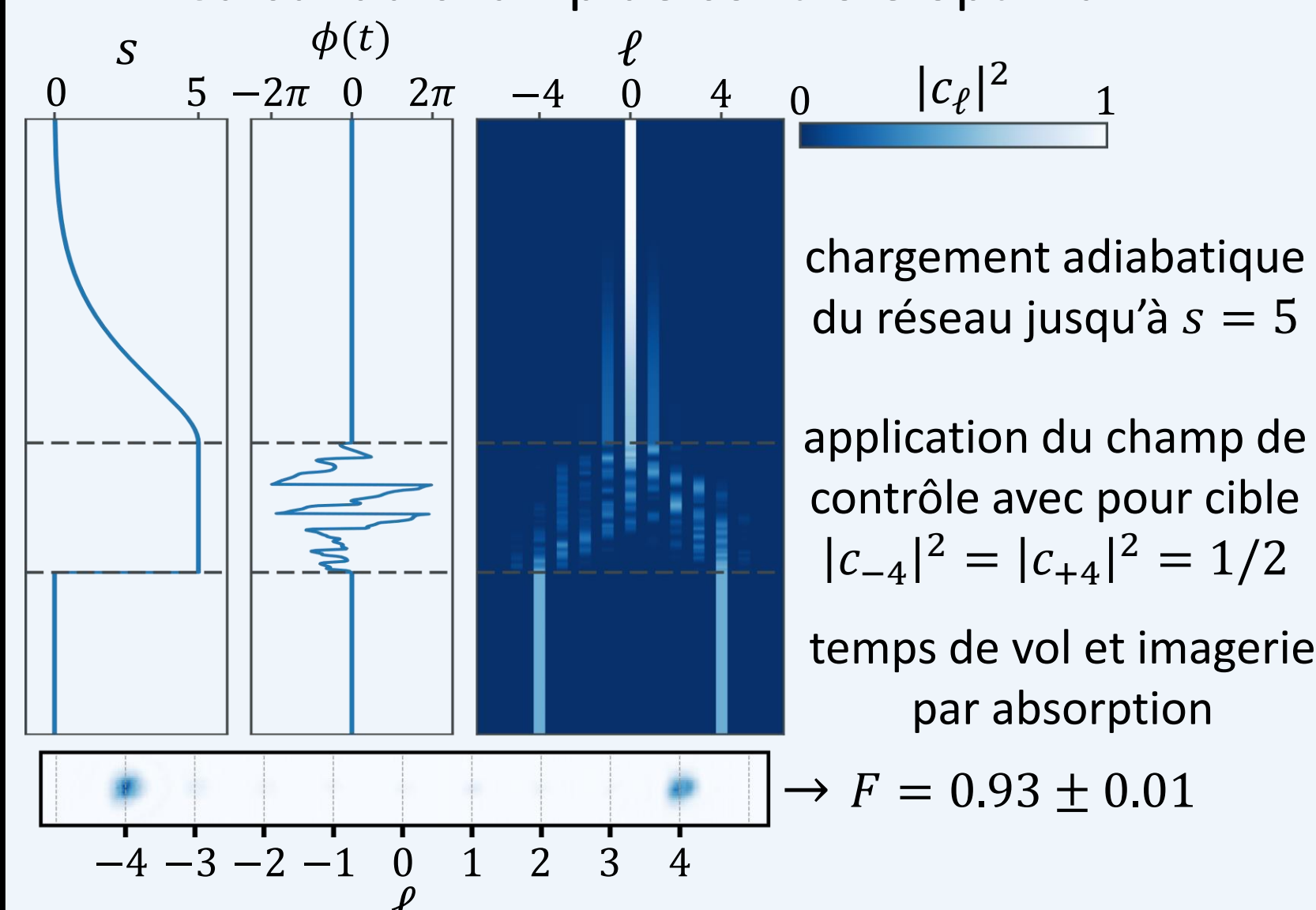
Algorithme :

- Choisir un champ de contrôle $\{\phi_j\}$
- Propager l'état du système C
- Propager l'état adjoint D en temps inverse
- Calculer les $\delta \phi_j$
- Modifier le champ de contrôle $\phi_j \rightarrow \phi_j + \delta \phi_j$

Itérer jusqu'à obtenir la valeur souhaitée de la fidélité

Protocole expérimental

- Calibration précise de la profondeur [3]
- Calcul du champ de contrôle optimal



Permet [1] : ✓ contrôle des populations dans les ordres d'impulsion
✓ contrôle des phases relatives entre les ordres

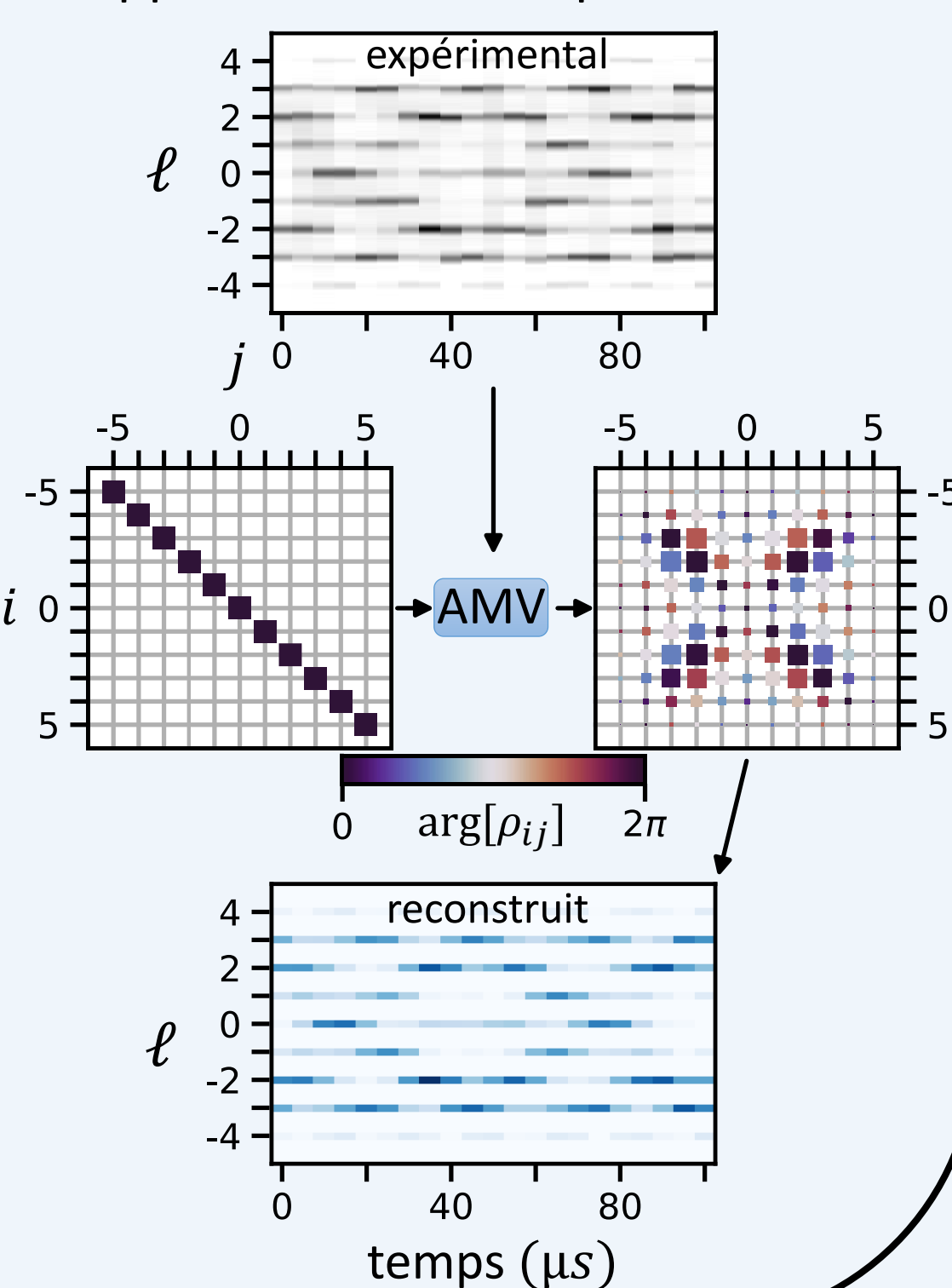
Reconstruction d'état

Nous utilisons un algorithme itératif [4] de maximisation de la vraisemblance :

$$\mathcal{L}(\hat{\rho}) = \prod_i \pi_i \pi_i^i$$

qui est maximale lorsque les probabilités de mesure π_i obtenues à partir de la matrice densité $\hat{\rho}$ correspondent aux fréquences équivalentes f_i mesurées expérimentalement.

Maintien dans le réseau statique après application du champ de contrôle



États gaussiens ronds [5]

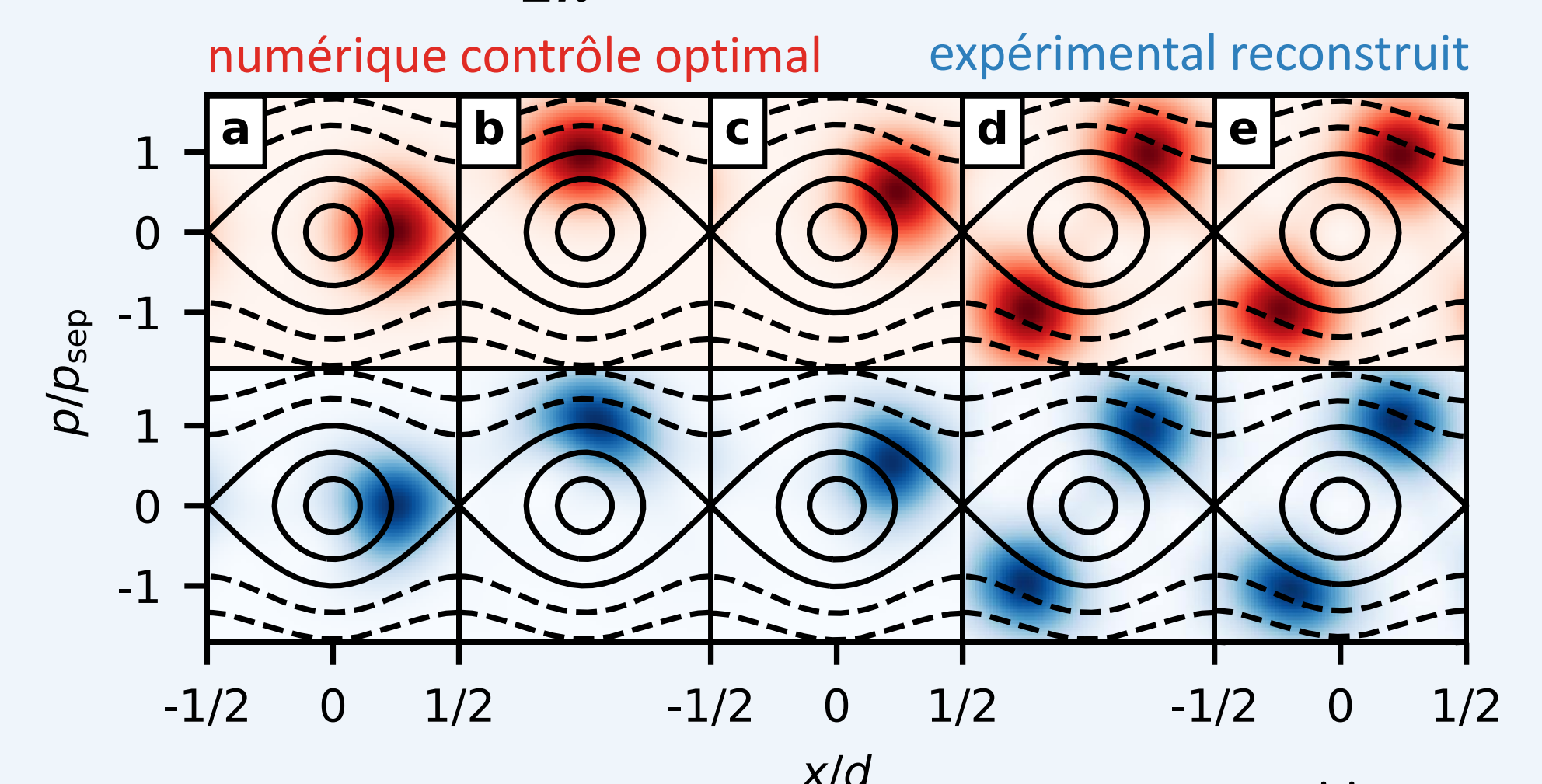
Nous définissons un état gaussien $|\alpha_s = u + iv\rangle$ « rond » comme un état cohérent [6] d'écart-type en impulsion $\sigma_p = s^{1/4}/2$ proche de celui de l'état fondamental du réseau à la profondeur s :

$$c_\ell(\alpha_s) = \frac{1}{N} e^{-i\ell u} e^{-\frac{(\ell-v)^2}{(2\sigma_p)^2}}$$

où u et v sont des variables d'espace et d'impulsion adimensionnées et N est un facteur de normalisation

Nous représentons nos états à l'aide de la quasi-distribution de Husimi donnée pour une matrice densité $\hat{\rho}$ par :

$$H_s(x, p) = \frac{1}{2\pi} \langle \alpha_s = x + ip | \hat{\rho} | \alpha_s = x + ip \rangle$$



	a	b	c	d	e
u	$\pi/2$	0	$\pi/2$	$\pm\pi/2$	$\pm\pi/2$
v	0	\sqrt{s}	$\sqrt{s}/2$	$\pm\sqrt{s}$	$\pm\sqrt{s}$
F	0.95	0.85	0.95	0.98	0.95
γ (pureté)	0.95	0.96	0.96	1.00	1.00
s	5.50 ± 0.25	5.49 ± 0.20	5.57 ± 0.20	5.5 ± 0.5	5.30 ± 0.25
t_f (μs)			~ 104		

symétrique $\Delta\phi = 0$ anti-symétrique $\Delta\phi = \pi$

États gaussiens comprimés [5]

Pour obtenir un état comprimé, on modifie l'écart-type en impulsion :

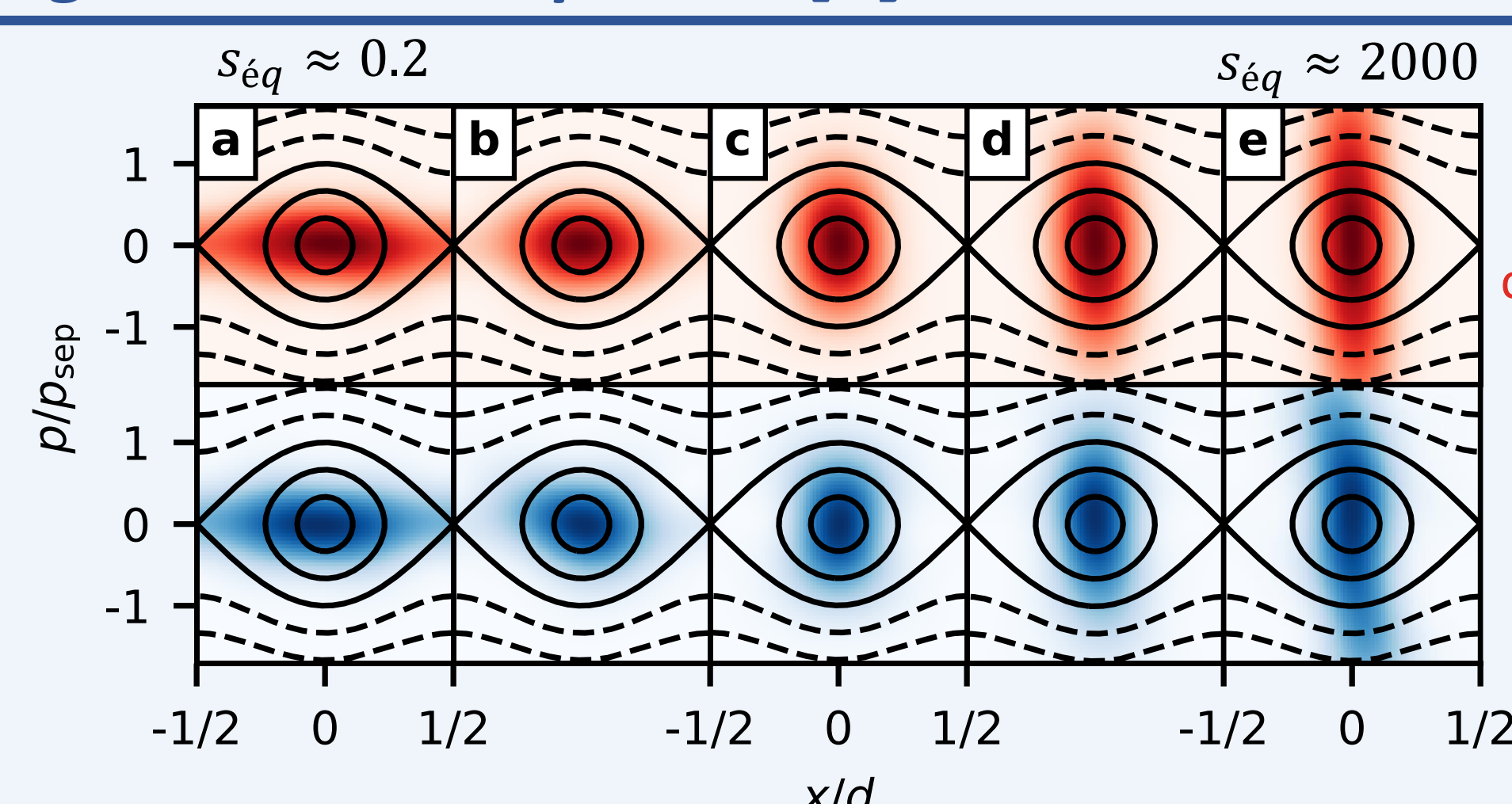
$$\sigma_p^{\text{comp}} = \frac{1}{\xi} \sigma_p^{\text{fonda}}$$

Facteur de compression :

$\xi > 1 \rightarrow$ compression en p
 $\xi < 1 \rightarrow$ compression en x

Profondeur équivalente :

$$s_{\text{eq}} = \frac{s}{\xi^4}$$



	a	b	c	d	e
$1/\xi$	0.44	0.62	1.65	2.75	4.34
F	0.99	0.96	0.97	0.92	0.81
γ (pureté)	1.00	1.00	0.99	0.91	0.83
s	5.49 ± 0.20	5.49 ± 0.20	5.45 ± 0.40	5.57 ± 0.20	5.62 ± 0.25
t_f (μs)			~ 104		117

Références

- [1] N. Dupont et al. *PRX Quantum* 2 040303 (2021)
- [2] U. Boscain et al. *PRX Quantum* 2 030203 (2021)
- [3] C. Cabrera-Gutiérrez et al. *Phys. Rev. A* 97, 043617 (2018)
- [4] A. I. Lvovsky *J. Opt. B: Quantum Semiclass. Opt.* 6 S556 (2004)
- [5] N. Dupont et al. En préparation
- [6] B. Bahr and H. J. Korsch *J. Phys. A: Math. Theor.* 40 3959 (2007)